

# SU( $N$ ) Hubbard 模型に おける厳密な結果

桂 法称 (東京大学・物理学専攻)

## Collaborators:

田中彰則 (有明高専)  
田村健祐、吉田博信 (東大)  
中川大也、上田正仁 (東大)



Institute for  
Physics of  
Intelligence



Trans-Scale  
Quantum Science  
Institute

# Outline

## 1. Introduction

- 磁性と  $SU(2)$  Hubbard 模型
- 冷却原子系と  $SU(N)$  Hubbard 模型

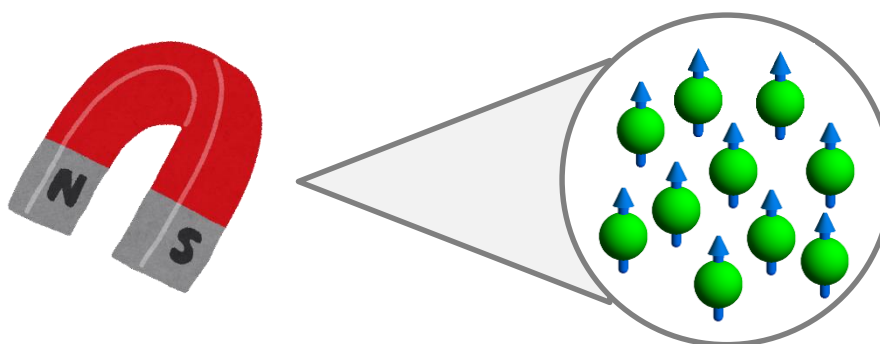
## 2. 強磁性についての厳密な結果

## 3. 引力Hubbard模型についての厳密な結果

## 4. Summary

# 磁石の起源

強磁性はどのような機構で発現するの？



巨視的な数のスピン  
(電子が担う)が一斉に同じ  
方向に揃うことによる

But why?

## ■ スピン間に働く相互作用

- 双極子相互作用

$$U_{\text{dip}}(\mathbf{r}) \propto -\frac{\mu_1 \cdot \mu_2}{r^3} + 3 \frac{(\mu_1 \cdot \hat{r})(\mu_2 \cdot \hat{r})}{r^3}$$

Usually, too small (< 1K) to explain transition temperatures...

- 交換相互作用

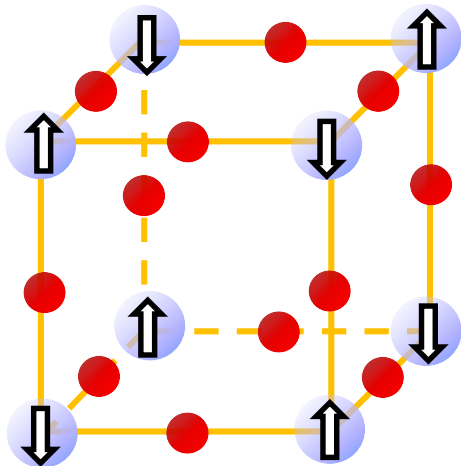
$$H_{\text{int}} = J \mathbf{S}_i \cdot \mathbf{S}_j \quad (\mathbf{S}_i: \text{spin at site } i)$$

直接交換(direct exchange):  $J < 0 \rightarrow$  強磁性的 (FM)

超交換(super-exchange):  $J > 0 \rightarrow$  反強磁性的 (AFM)

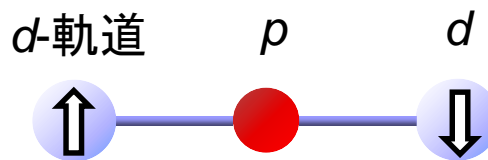
# Magnetism in reality

## ■ 金森-Goodenough 規則

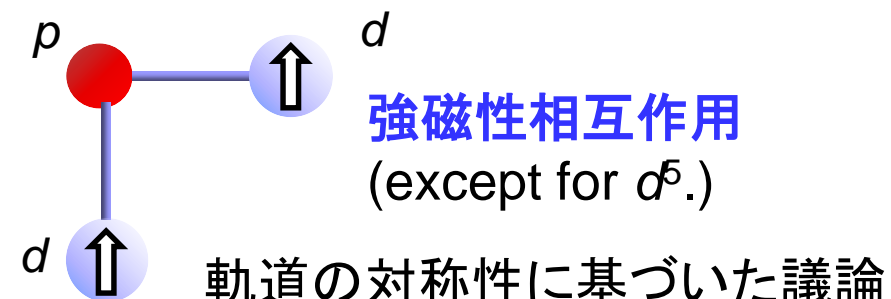


磁性イオン (cations) の間に  
直接の相互作用ではなく、陰イオン  
(anions) を介して相互作用する

- ・単純な例 (軌道秩序は無視)



磁性イオン間に  
**反強磁性**相互作用



より単純なモデルにおいて厳密に強磁性を証明できない?

# SU(2) Hubbard模型

固体中の相関電子系を記述する単純な格子模型

Hubbard, *Proc. Roy. Soc. A* **276**, 238 (1963)

Electron correlations in narrow energy bands

BY J. HUBBARD

*Theoretical Physics Division, A.E.R.E., Harwell, Didcot, Berks*

(Communicated by B. H. Flowers, F.R.S.—Received 23 April 1963)

Hubbard  
Kanamori, Gutzwiller

- 原論文でのハミルトニアン

made, then the Hamiltonian of (6) becomes

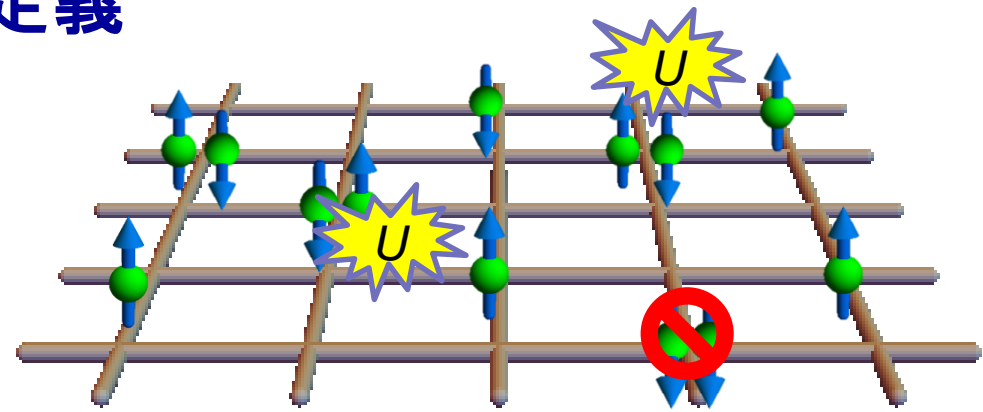
$$H = \sum_{i,j} \sum_{\sigma} T_{ij} c_{i\sigma}^{\dagger} c_{j\sigma} + \frac{1}{2} I \sum_{i,\sigma} n_{i\sigma} n_{i,-\sigma} - I \sum_{i,\sigma} \nu_{ii} n_{i\sigma},$$

where  $n_{i\sigma} = c_{i\sigma}^{\dagger} c_{i\sigma}$ . From (9),  $\nu_{ii} = N^{-1} \sum_{\mathbf{k}} \nu_{\mathbf{k}} = \frac{1}{2} n$ , so the last term

# SU(2) Hubbard模型: 定義

## ■ Setup

- $\Lambda$  : finite lattice
- $x, y, \dots$  : site index
- $\sigma = \uparrow$  or  $\downarrow$  : spin index



- $c_{x,\sigma}^\dagger$  ( $c_{x,\sigma}$ ) : creation (annihilation) operator

$$\{c_{x,\sigma}, c_{y,\sigma'}\} = \{c_{x,\sigma}^\dagger, c_{y,\sigma'}^\dagger\} = 0, \quad \{c_{x,\sigma}, c_{y,\sigma'}^\dagger\} = \delta_{x,y}\delta_{\sigma,\sigma'}$$

$\bullet^\dagger(\text{phys}) = \bullet^*(\text{math})$

- $n_{x,\sigma} := c_{x,\sigma}^\dagger c_{x,\sigma}$  : number operator

## ■ Hamiltonian

$$H = H_{\text{hop}} + H_{\text{int}}$$

Hopping term

$$H_{\text{hop}} = \sum_{\sigma=\uparrow,\downarrow} \sum_{x,y \in \Lambda} t_{x,y} c_{x,\sigma}^\dagger c_{y,\sigma}$$

On-site Coulomb

$$H_{\text{int}} = U \sum_{x \in \Lambda} n_{x,\uparrow} n_{x,\downarrow}$$

Hopping matrix

SU(2) 不変性をもつ

$H_{\text{hop}}$ と $H_{\text{int}}$ は交換しない…

# 超交換相互作用の「導出」

## ■ 2サイトのHubbard模型

- Hamiltonian

$$H = -t \sum_{\sigma=\uparrow,\downarrow} (c_{1,\sigma}^\dagger c_{2,\sigma} + c_{2,\sigma}^\dagger c_{1,\sigma}) + U \sum_{i=1,2} n_{i,\uparrow} n_{i,\downarrow}$$

- half-filling ( $N_e = 2$ ) での二次摂動,  $U \gg t$

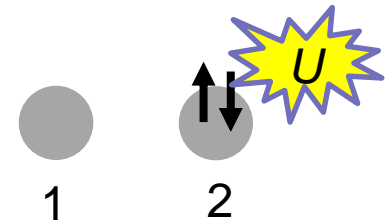
Basis states:  $|\sigma_1, \sigma_2\rangle = c_{1,\sigma_1}^\dagger c_{2,\sigma_2}^\dagger |\text{vac}\rangle$

$t = 0$

Pauli's exclusion

$$H_{\text{eff}} = \frac{4t^2}{U} \left( \mathbf{S}_1 \cdot \mathbf{S}_2 - \frac{1}{4} \right) \quad S_i^\alpha = \frac{1}{2} \sigma_i^\alpha$$

$$\begin{pmatrix} 0 & -\frac{2t^2}{U} & +\frac{2t^2}{U} & \\ -\frac{2t^2}{U} & +\frac{2t^2}{U} & -\frac{2t^2}{U} & \\ +\frac{2t^2}{U} & -\frac{2t^2}{U} & 0 & \\ 0 & 0 & 0 & 0 \end{pmatrix} \begin{matrix} \uparrow\uparrow \\ \uparrow\downarrow \\ \downarrow\uparrow \\ \downarrow\downarrow \end{matrix}$$



交換相互作用の起源 = 電子間相互作用!  
反強磁性相互作用を説明。強磁性相互作用についてはどうか?

# 「強磁性を示す」とは？

## ■ SU(2) Hubbard模型の対称性

- ・総電子数

$$N_e := \sum_{x \in \Lambda} (n_{x,\uparrow} + n_{x,\downarrow})$$

各サイトのスピン

- ・全スピン演算子

$$S_{\text{tot}}^a := \sum_{x \in \Lambda} S_x^a \quad (a = x, y, z)$$

$$S_x^a := \sum_{\sigma, \tau} c_{x,\sigma}^\dagger \frac{\sigma_{\sigma,\tau}^a}{2} c_{x,\tau}$$

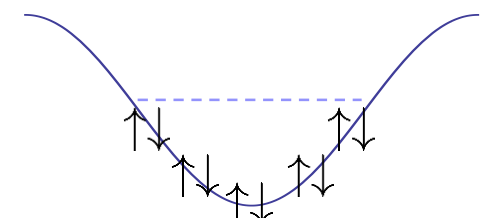
- ・ハミルトニアン  $H$  は、これらと交換  $[H, N_e] = [H, S_{\text{tot}}^a] = 0$

- ・ $H$  は次の変換で不変  $c_{x,\sigma} \rightarrow \tilde{c}_{x,\sigma} = \sum_{\tau=\uparrow,\downarrow} \mathcal{U}_{\sigma,\tau} c_{x,\tau}$ ,  $\mathcal{U} \in \text{U}(2)$

## ■ 強磁性状態

- ・ $H$  の固有状態は、 $(S_{\text{tot}})^2, S_{\text{tot}}^z$  の同時固有状態にとれる
- ・強磁性状態は、 $N_e$  を固定した部分空間で  $(S_{\text{tot}})^2$  が最大の状態
- ・以下、基底状態が強磁性状態のみとなるとき、**強磁性を示す** という

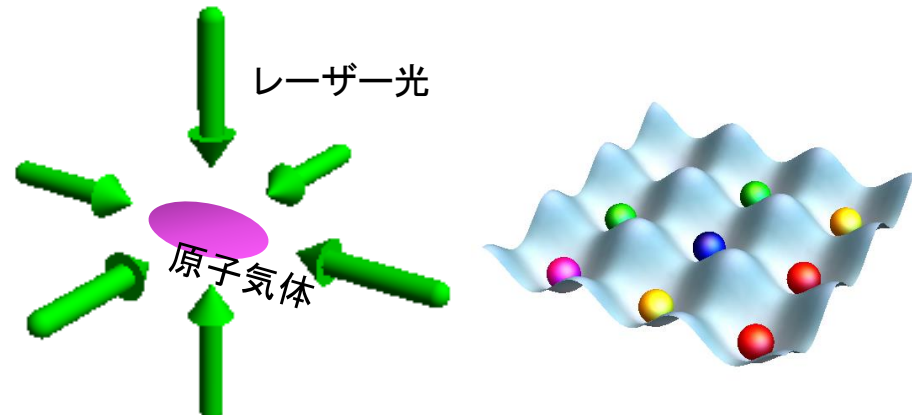
NOTE) 相互作用がないと基底状態はシングレット



# SU( $N$ ) Hubbard模型: motivation

## ■ 光格子系

レーザー光の定在波の腹・節  
による人工的な結晶格子  
原子を閉じ込めることができる



## ■ $N$ 成分フェルミオン系

核スピンの自由度をもつ原子

$^{173}\text{Yb}$

核スピン  $I = 5/2$ , 磁気副準位  $\sigma = -5/2, -3/2, -1/2, 1/2, 3/2, 5/2$

$^{87}\text{Sr}$

核スピン  $I = 9/2 \rightarrow N=10$ 成分系



核スピンは電子スピンと分離  $\rightarrow$  SU( $N$ ) 対称な相互作用

SU(6) Hubbard模型の実験的実現(京大・高橋グループ)

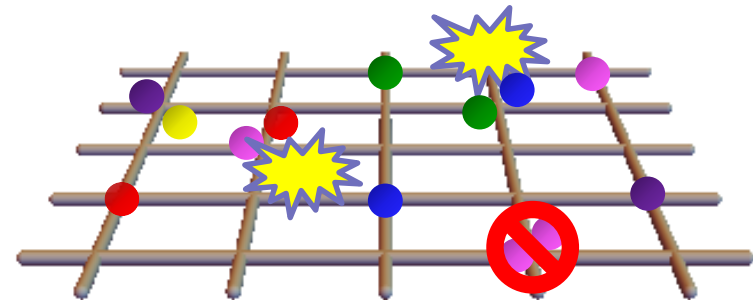
Taie et al., *Nature Physics*, 8, 825 (2012)

強相関系の量子シミュレーション

# SU( $N$ ) Hubbard模型: 定義

## ■ Setup

- $\Lambda$  : finite lattice
- $x, y, \dots$  : site index
- $\alpha = 1, 2, \dots, N$  : color index
- $c_{x,\alpha}^\dagger$  ( $c_{x,\alpha}$ ) : creation (annihilation) operator  
 $\{c_{x,\alpha}, c_{y,\beta}\} = \{c_{x,\alpha}^\dagger, c_{y,\beta}^\dagger\} = 0, \quad \{c_{x,\alpha}, c_{y,\beta}^\dagger\} = \delta_{x,y}\delta_{\alpha,\beta}$
- $n_{x,\alpha} := c_{x,\alpha}^\dagger c_{x,\alpha}$  : number operator
- $|\text{vac}\rangle$  : vacuum such that  $c_{x,\alpha}|\text{vac}\rangle = 0 \quad \forall x, \alpha$  and  $\langle \text{vac}|\text{vac}\rangle = 1$



## ■ Hamiltonian $H = H_{\text{hop}} + H_{\text{int}}$

- Hopping term

$$H_{\text{hop}} = \sum_{\alpha=1}^N \sum_{x,y \in \Lambda} t_{x,y} c_{x,\alpha}^\dagger c_{y,\alpha}$$

Cazalilla *et al.*, *NJP*, **11** (2009)  
Gorshkov *et al.*, *Nat. Phys.* **6** (2010)

- Interaction term  $H_{\text{int}} = U \sum_{1 \leq \alpha < \beta \leq N} \sum_{x \in \Lambda} n_{x,\alpha} n_{x,\beta}$

# SU( $N$ ) 強磁性状態とは？

## ■ 模型の対称性

- Total fermion num.  $F_{\text{tot}} := \sum_{\alpha=1}^N \sum_{x \in \Lambda} n_{x,\alpha}$
- Generators

$$F^{\alpha,\beta} := \sum_{x \in \Lambda} c_{x,\alpha}^\dagger c_{x,\beta}$$

$F^{\alpha,\alpha}$  の固有値を  $F_\alpha$  で表す

- ハミルトニアンはこれらと交換  $[H, F^{\alpha,\beta}] = 0$

$F_{\text{tot}}$  を固定した空間  
で SU( $N$ ) 対称性

- $H$  は以下の変換で不变

$$c_{x,\alpha} \rightarrow \tilde{c}_{x,\alpha} = \sum_{\beta=1}^N \mathcal{U}_{\alpha,\beta} c_{x,\beta}, \quad \mathcal{U} \in \mathrm{U}(N)$$

## ■ SU( $N$ )強磁性状態

- $H$  は、  $(F_1, \dots, F_N)$  で指定される部分空間ごとにブロック対角
- 異なる部分空間に属する  $H$  の縮退したエネルギー固有状態は、  $F^{\alpha,\beta} (\alpha \neq \beta)$  の作用により関係付いている
- 強磁性状態は、  $F_{\text{tot}}$  を固定した部分空間で2次のCasimirの固有値が最大の状態

$$C_2 = \frac{1}{2} \left( \sum_{\alpha,\beta=1}^N F^{\alpha,\beta} F^{\beta,\alpha} - \frac{(F_{\text{tot}})^2}{N} \right)$$

# Outline

1. Introduction

2. 強磁性についての厳密な結果

- 長岡強磁性
- 平坦バンド強磁性

3. 引力Hubbard模型についての厳密な結果

4. Summary

# 強磁性 (FM) についての厳密な結果

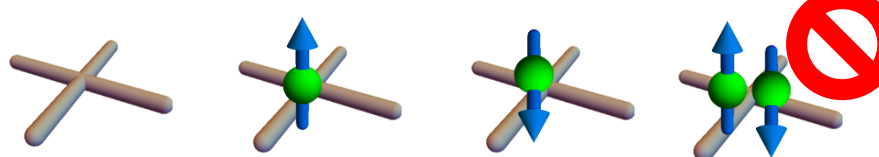
ある種のクラスのHubbard模型については、基底状態が強磁性を示す (unique g.s. が強磁性状態である)ことを証明できる

	SU(2) Hubbard	SU( $N$ ) Hubbard
Nagaoka FM	Nagaoka, PR <b>147</b> (1966) Tasaki, PRB <b>40</b> (1989)	Katsura & Tanaka, PRA <b>87</b> (2013) Bobrow <i>et al.</i> , PRB <b>98</b> (2018)
Flat-band FM	Mielke, J. Phys. A <b>A24</b> (1991) Tasaki, PRL <b>69</b> (1992)	Liu <i>et al.</i> , Sci. Bull. <b>64</b> (2019) Tamura & Katsura, PRB <b>100</b> (2019)
Nearly flat-band FM	Tasaki, PRL <b>75</b> (1995) Tasaki, CMP <b>242</b> (2003)	Tamura & Katsura, PRB <b>100</b> (2019) Tamura & Katsura, JST <b>182</b> (2021)
General theory	Mielke, PLA <b>174</b> (1995) Mielke, JPA <b>32</b> (1999)	Tamura & Katsura, in preparation (Tamura-san's talk)

# 長岡強磁性

## ■ 反発力( $U$ )無限大の極限

- 各格子点の状態



格子点に2つ電子  
がいる配置を無視できる

## ■ 定理 (Nagaoka, 1965; Tasaki, 1989)

仮定

- $t_{x,y} \geq 0, U = \infty$
- 総電子数  $N_e = |\Lambda| - 1$
- 格子  $\Lambda$  は二部連結グラフ

Then the ground state of the SU(2) Hubbard model has the maximum total spin  $S_{\max} = (|\Lambda| - 1)/2$  and unique up to the trivial  $|\Lambda|$ -fold degeneracy.

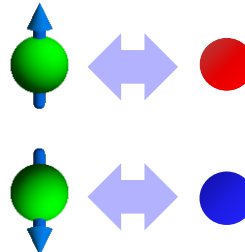
Eigenvalue of  $(S_{\text{tot}})^2$ :  

$$\frac{N_e}{2} \left( \frac{N_e}{2} + 1 \right)$$

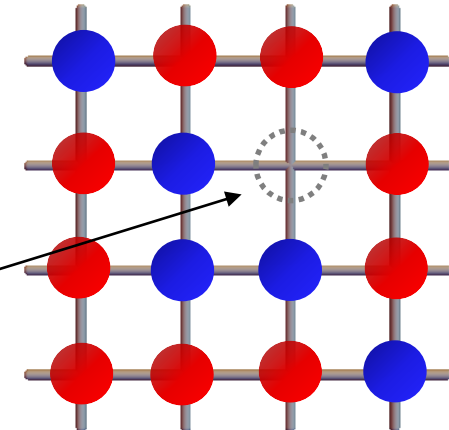
特殊だが、ハバード・モデルから強磁性を厳密に示した最初の例！

# 証明のアウトライン

## ■ 連結性条件 (connectivity condition)



Ex.)  $|\Lambda| = 16$   
 $N_e = |\Lambda| - 1 = 15$   
 ホールを動かすことでの  
 任意の配置を実現できる



## ■ Perron-Frobenius (PF) の定理

- Basis states  $|i, \sigma\rangle = (-1)^i c_{1,\sigma_1}^\dagger \cdots c_{i-1,\sigma_{i-1}}^\dagger c_{i+1,\sigma_{i+1}}^\dagger \cdots c_{|\Lambda|,\sigma_{|\Lambda|}}^\dagger |vac\rangle$

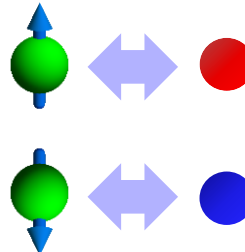
この基底では、hopping term  $H_{\text{hop}}$  のすべての  
 非対角要素はゼロ以下  $\langle i, \sigma | H_{\text{hop}} | j, \tau \rangle \leq 0$

- 連結性条件を満たす場合、PF定理から、total  $S^z$  を固定した  
 部分空間では基底状態は unique と言える

$$\uparrow = \begin{matrix} \text{grid with hole at } (3,3) \end{matrix} + \begin{matrix} \text{grid with hole at } (3,4) \end{matrix} + \begin{matrix} \text{grid with hole at } (4,3) \end{matrix} + \begin{matrix} \text{grid with hole at } (4,4) \end{matrix} + \begin{matrix} \text{grid with hole at } (3,3) \end{matrix} + \dots$$

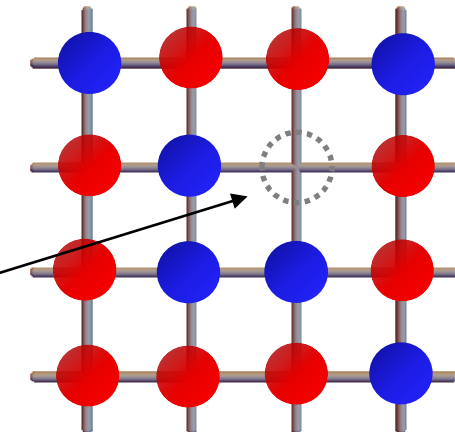
# 証明のアウトライン

## ■ 連結性条件 (connectivity condition)



Ex.)  $|\Lambda| = 16$   
 $N_e = |\Lambda| - 1 = 15$

ホールを動かすことでの  
任意の配置を実現できる



## ■ Perron-Frobenius (PF) の定理

- Basis states  $|i, \sigma\rangle = (-1)^i c_{1,\sigma_1}^\dagger \cdots c_{i-1,\sigma_{i-1}}^\dagger c_{i+1,\sigma_{i+1}}^\dagger \cdots c_{|\Lambda|,\sigma_{|\Lambda|}}^\dagger |vac\rangle$

この基底では、hopping term  $H_{\text{hop}}$  のすべての  
非対角要素はゼロ以下  $\langle i, \sigma | H_{\text{hop}} | j, \tau \rangle \leq 0$

- 連結性条件を満たす場合、PF定理から、total  $S^z$  を固定した  
部分空間では基底状態は unique と言える

$$\text{state} = \sum \text{configurations}$$

# What about $SU(N)$ ?

## ■ 反発力( $U$ )無限大の極限

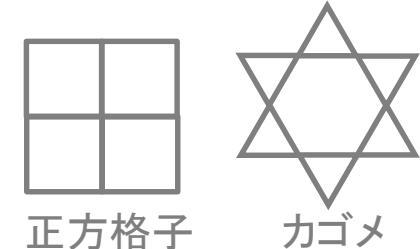
- 各格子点の状態



## ■ 定理 (Katsura & Tanaka, 2012)

仮定

- $t_{x,y} \geq 0, U = \infty$
- 総フェルミオン数  $F_{\text{tot}} = |\Lambda| - 1$
- 連結性条件を満たす



Then the ground state of the  $SU(N)$  Hubbard model is  $SU(N)$  ferromagnetic and unique up to the trivial  $d_{\text{deg}}$ -fold degeneracy.

- 2次のCasimir演算子の値が最大の状態
- Cf.) Miyashita, Ogata & De Raedt, *PRB* **80**, 174422 (2009)

$$d_{\text{deg}} = \binom{F_{\text{tot}} + N - 1}{F_{\text{tot}}}$$

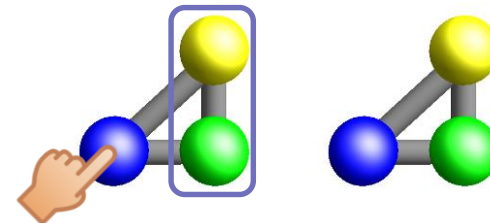
$F_{\text{tot}}$

…

# 証明のアウトライン

## ■ 連結性条件

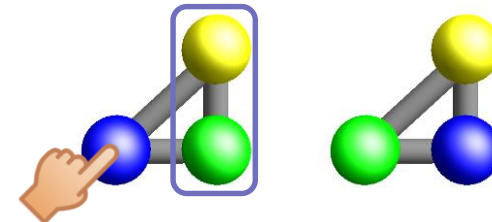
- ・パズドラと非常に似ている
- ・ホール～タッチしたドロップ
- ・局所的な互換



# 証明のアウトライン

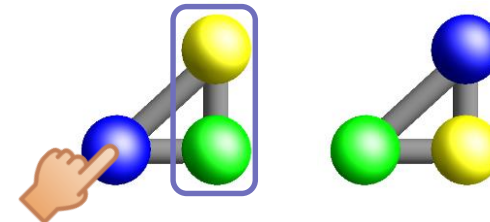
## ■ 連結性条件

- ・パズドラと非常に似ている
- ・ホール～タッチしたドロップ
- ・局所的な互換



## ■ 連結性条件

- ・パズドラと非常に似ている
- ・ホール～タッチしたドロップ
- ・局所的な互換

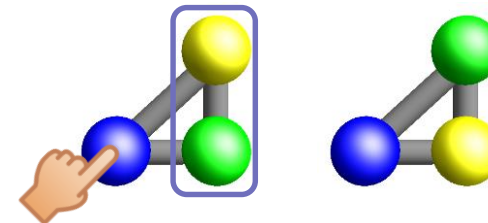


# 証明のアウトライン

21/46

## ■ 連結性条件

- ・パズドラと非常に似ている
- ・ホール～タッチしたドロップ
- ・局所的な互換

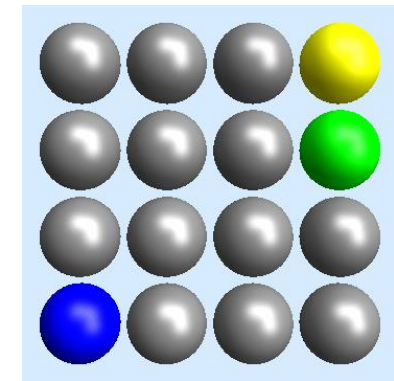
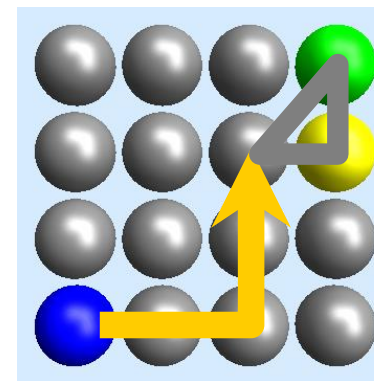
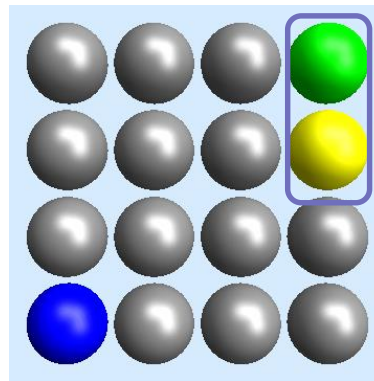
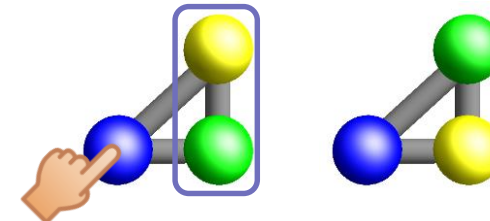


# 証明のアウトライン

22/46

## ■ 連結性条件

- ・パズドラと非常に似ている
- ・ホール ~ タッチしたドロップ
- ・局所的な互換

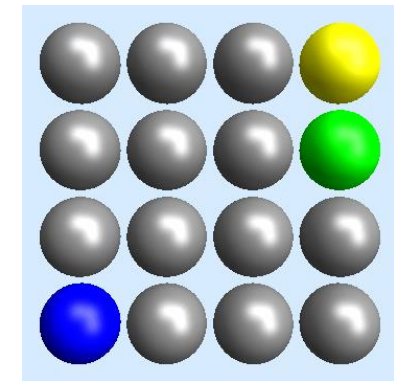
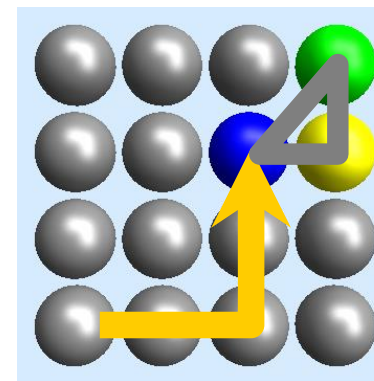
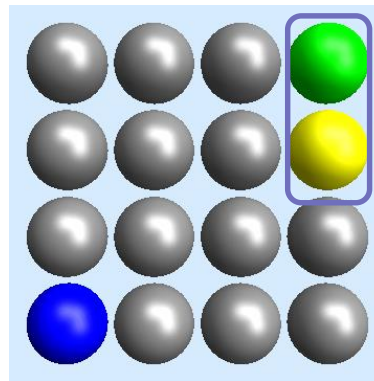
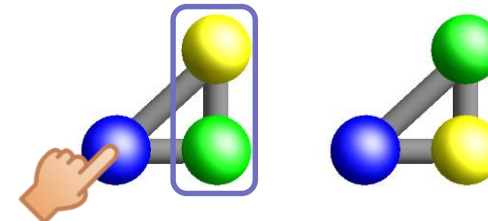


# 証明のアウトライン

23/46

## ■ 連結性条件

- ・パズドラと非常に似ている
- ・ホール ~ タッチしたドロップ
- ・局所的な互換

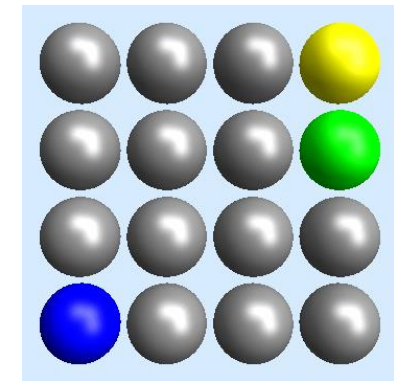
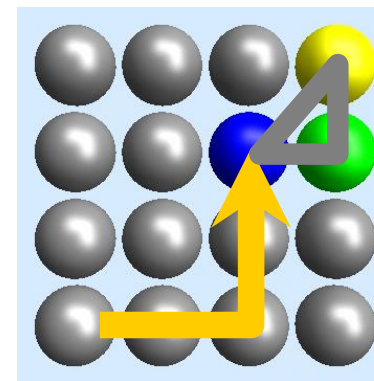
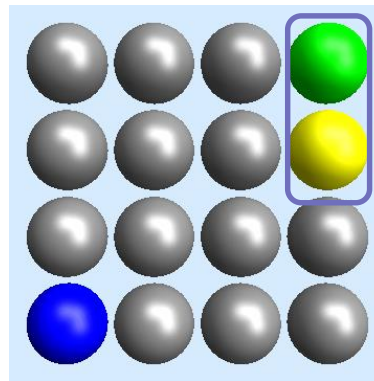
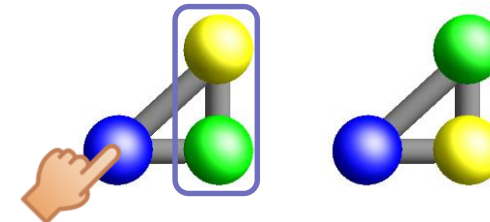


# 証明のアウトライン

24/46

## ■ 連結性条件

- ・パズドラと非常に似ている
- ・ホール ~ タッチしたドロップ
- ・局所的な互換

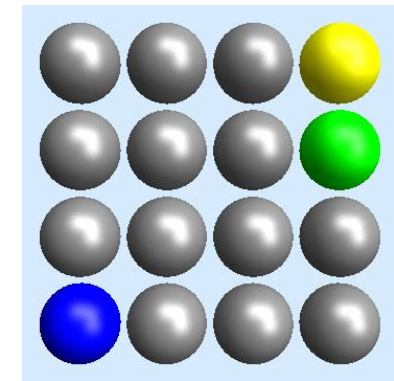
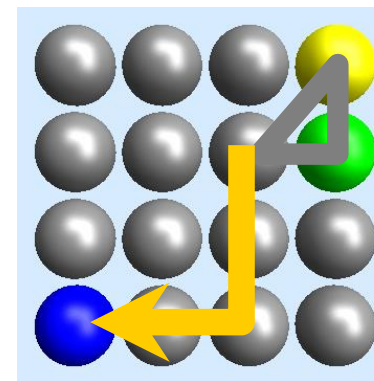
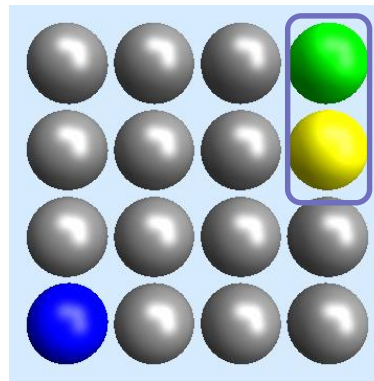
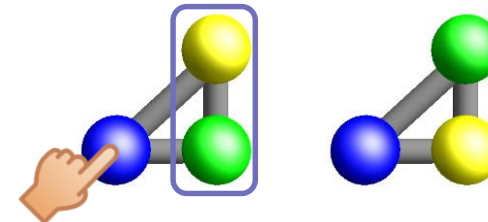


# 証明のアウトライン

25/46

## ■ 連結性条件

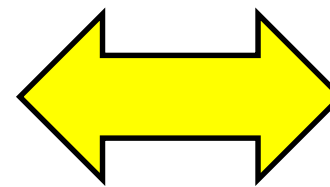
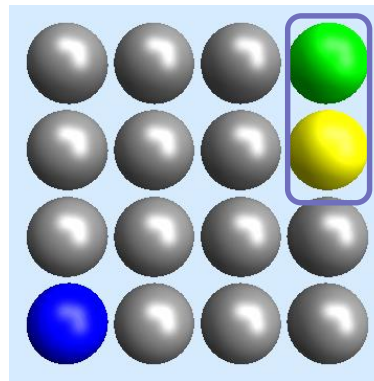
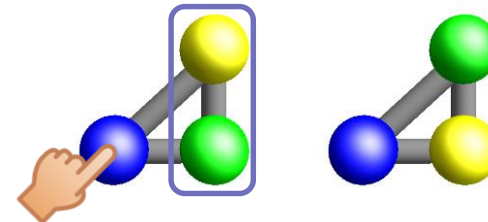
- ・パズドラと非常に似ている
- ・ホール ~ タッチしたドロップ
- ・局所的な互換



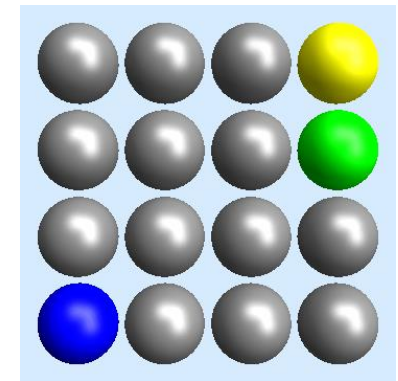
# 証明のアウトライン

## ■ 連結性条件

- ・パズドラと非常に似ている
- ・ホール ~ タッチしたドロップ
- ・局所的な互換



青の移動のみで  
互換を構成できる！  
灰色の配置はそのまま



## ■ PF定理が適用できる基底がある

$$|i, \alpha\rangle = (-1)^i c_{1,\alpha_1}^\dagger \cdots c_{i-1,\alpha_{i-1}}^\dagger c_{i+1,\alpha_{i+1}}^\dagger \cdots c_{|\Lambda|,\alpha_{|\Lambda|}}^\dagger |\text{vac}\rangle$$

# A crash course in inequalities

## ■ Positive semidefinite operators

Appendix in H.Tasaki, *PTP*. **99**, 489 (1998) or his book

$\mathcal{H}$ : finite-dimensional Hilbert space

$A, B$ : Hermitian operators on  $\mathcal{H}$

- **Definition 1.** We write  $A \geq 0$  and say  $A$  is **positive semidefinite (p.s.d.)** if  $\langle \psi | A | \psi \rangle \geq 0$ ,  $\forall |\psi\rangle \in \mathcal{H}$ .
- **Definition 2.** We write  $A \geq B$  if  $A - B \geq 0$ .

## ■ Important lemmas

- **Lemma 1.**  $A \geq 0$  iff all the eigenvalues of  $A$  are nonnegative.
- **Lemma 2.** Let  $C$  be an arbitrary matrix on  $\mathcal{H}$ . Then  $C^\dagger C \geq 0$ .  
**Cor.** A projection operator  $P = P^\dagger$  is p.s.d.
- **Lemma 3.** If  $A \geq 0$  and  $B \geq 0$ , we have  $A + B \geq 0$ .

# Frustration-free systems

## ■ Anderson's bound (*Phys. Rev.* **83**, 1260 (1951).)

- Total Hamiltonian:  $H = \sum_j h_j$
- Sub-Hamiltonian:  $h_j$  that satisfies  $h_j \geq E_j^{(0)} \mathbf{1}$ .  
( $E_j^{(0)}$ : the lowest eigenvalue of  $h_j$ )

$$(\text{The g.s. energy of } H) =: E_0 \geq \sum_j E_j^{(0)}$$

Used to obtain a lower bound on the g.s. energy of AFM Heisenberg model

## ■ Frustration-free Hamiltonian

The case where the *equality* holds.

**Definition.**  $H = \sum_j h_j$  is said to be *frustration-free* if there exists a state  $|\psi\rangle$  such that  $h_j |\psi\rangle = E_j^{(0)} |\psi\rangle$  for all  $j$ .

Ex.)  $S=1$  Affleck-Kennedy-Lieb-Tasaki (AKLT), toric code

$$H = \sum_j h_j, \quad h_j = \mathbf{S}_j \cdot \mathbf{S}_{j+1} + \frac{1}{3} (\mathbf{S}_j \cdot \mathbf{S}_{j+1})^2$$

Flat-band ferro.  
is another example!

# Hopping term

## ■ Diagonalization

Boils down to the diagonalization of  $T = (t_{x,y})$

$$H_{\text{hop}} = \sum_{\alpha=1}^N \sum_{x,y \in \Lambda} t_{x,y} c_{x,\alpha}^\dagger c_{y,\alpha}$$

- Eigen-operators

Let  $\mathbf{v}$  be an eigenvector of  $T$  with eigenvalue  $\epsilon$ .

Then, the operator

$$\psi_\alpha^\dagger = \sum_{x \in \Lambda} v_x c_{x,\alpha}^\dagger \quad \text{satisfies} \quad [H_{\text{hop}}, \psi_\alpha^\dagger] = \epsilon \psi_\alpha^\dagger.$$

Acting with  $\psi_\alpha^\dagger$  on an eigenstate of  $H_{\text{hop}}$  raises energy by  $\epsilon$ .

- Eigenstates

$|\text{vac}\rangle$  is an eigenstate of  $H_{\text{hop}}$  with energy 0.

General eigenstates take the form:  $\psi_\alpha^{\dagger(1)} \psi_\beta^{\dagger(2)} \psi_\gamma^{\dagger(3)} \dots |\text{vac}\rangle$

where  $T \mathbf{v}^{(k)} = \epsilon^{(k)} \mathbf{v}^{(k)}$ ,  $\psi_\alpha^{\dagger(k)} = \sum_{x \in \Lambda} v_x^{(k)} c_{x,\alpha}^\dagger$

# Interaction Term

## ■ Diagonalization

Already diagonal in the number basis!

$$H_{\text{int}} = U \sum_{1 \leq \alpha < \beta \leq N} \sum_{x \in \Lambda} n_{x,\alpha} n_{x,\beta}$$

- Eigenstates

$c_{x,\alpha}^\dagger c_{y,\beta}^\dagger c_{z,\gamma}^\dagger \cdots |\text{vac}\rangle$  is an eigenstate of  $H_{\text{int}}$ .

For example,  $c_{x,1}^\dagger c_{x,2}^\dagger c_{y,3}^\dagger c_{z,1}^\dagger c_{z,3}^\dagger |\text{vac}\rangle$  has energy  $2U$ .

# What about the full Hamiltonian?

- Hopping and interaction terms do not commute!

$$[H_{\text{hop}}, H_{\text{int}}] \neq 0$$

- Not even frustration-free in general...

But for a hopping term with a *flat band* (at the bottom), the full Hamiltonian becomes frustration-free!

# What are flat bands?

## ■ Single-particle eigenstates of $H_{\text{hop}}$

$$H_{\text{hop}} = \sum_{\alpha=1}^N \sum_{x,y \in \Lambda} t_{x,y} c_{x,\alpha}^\dagger c_{y,\alpha}$$

- Energy bands

In systems with translation symmetry, wave-num.  
 $\mathbf{k}$  is a good quantum number.

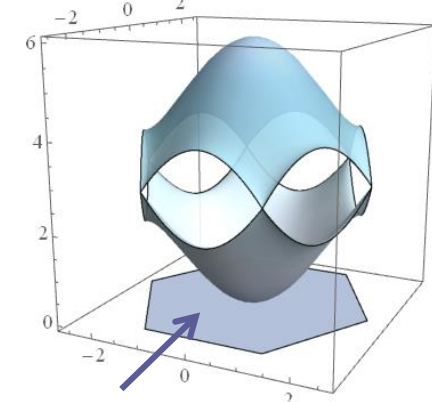
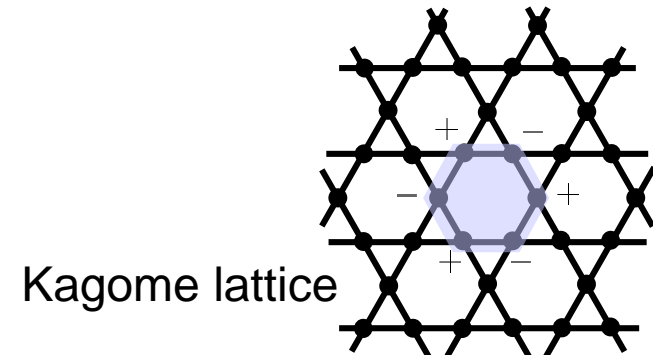
$$H_{\text{hop}} \psi_\alpha^\dagger(\mathbf{k}) |\text{vac}\rangle = \epsilon(\mathbf{k}) \psi_\alpha^\dagger(\mathbf{k}) |\text{vac}\rangle$$

- Flat band

Single-particle energy  $\epsilon(\mathbf{k})$  is independent of  $\mathbf{k}$ .

## ■ Various constructions

- Line-graph construction: Mielke
- Cell construction: Tasaki
- Imbalance-type: Sutherland, ...
- Resonance-type: Katsura-Maruyama, Mizoguchi *et al.*, ...



解説記事:  
桂, 丸山, "フラットバンドの構成法"  
固体物理 50, 41 (2015) [ネットにあり]

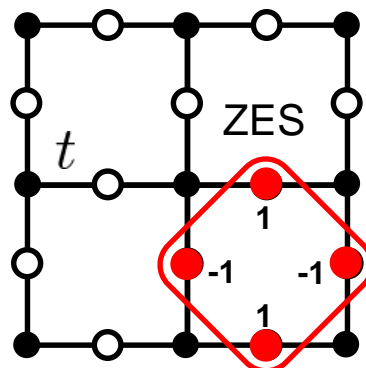
# Index theorem & flat band

## ■ Sutherland's paper [PRB 34, 5208 (1986)]

Finally, as pointed out by Sriram Shastry, these results seem to be related to deep theorems of differential geometry, such as the Atiyah-Singer index theorem, although the exact connections are yet to be made.

## ■ Sublattice asymmetry

Lieb lattice



- Hopping matrix

$$\mathbf{T} = \begin{pmatrix} O & B \\ B^\dagger & O \end{pmatrix} \quad B: N_\bullet \times N_\circ \text{ matrix}$$

- $\gamma_5$  matrix

$$\gamma_5 = \text{diag}(\overbrace{-1, \dots -1}^{N_\bullet}, \overbrace{+1, \dots +1}^{N_\circ})$$

$$\{\gamma_5, \mathbf{T}\} = 0$$

- $\dim \text{Ker } \mathbf{T} \geq N_\circ - N_\bullet$

# Why frustration-free?

- Assume p.s.d. Hopping matrix  $T \geq 0$
- Kernel of  $T$  spanned by orthonormal  $\mathbf{v}^{(j)}$  ( $j = 1, \dots, D_0$ ),  $T\mathbf{v}^{(j)} = 0$
- Zero-energy eigen-operators  $a_{j,\alpha}^\dagger = \sum_{x \in \Lambda} v_x^{(j)} c_{x,\alpha}^\dagger$   $[H_{\text{hop}}, a_{j,\alpha}^\dagger] = 0$
- Interaction term is p.s.d. for  $U > 0$
- Many-body zero-energy state  $|\Phi_{\text{ferro},\alpha}\rangle = \left( \prod_{j=1}^{D_0} a_{j,\alpha}^\dagger \right) |\Phi_{\text{vac}}\rangle$   
Because of the Pauli principle  $(c_{x,\alpha}^\dagger)^2 = 0$ ,  
 $H_{\text{hop}}|\Phi_{\text{ferro},\alpha}\rangle = H_{\text{int}}|\Phi_{\text{ferro},\alpha}\rangle = 0$  Frustration-free!

# Are they unique (up to trivial degeneracy)?

- In the SU(2) case, Mielke established a necessary and sufficient condition for the uniqueness [Mielke, Phys. Lett. A 174, 443 (1993)]
- SU( $N$ )への一般化: 田村さんの午後のトーク

# Model on 1D Tasaki lattice

## ■ Lattice and hopping term

- Lattice:  $\Lambda = \{1, 2, \dots, 2M\}$   
 $\mathcal{O} = \{1, 3, 5, \dots\}, \mathcal{E} = \{2, 4, 6, \dots\}$
- Periodic boundary conditions:  
Identify site  $j$  with  $j+2M$
- Hopping term ( $t > 0$ )

$$H_{\text{hop}} = \sum_{\alpha=1}^N \sum_{x,y \in \Lambda} t_{x,y} c_{x,\alpha}^\dagger c_{y,\alpha} = t \sum_{\alpha=1}^N \sum_{x \in \mathcal{O}} b_{x,\alpha}^\dagger b_{x,\alpha}$$

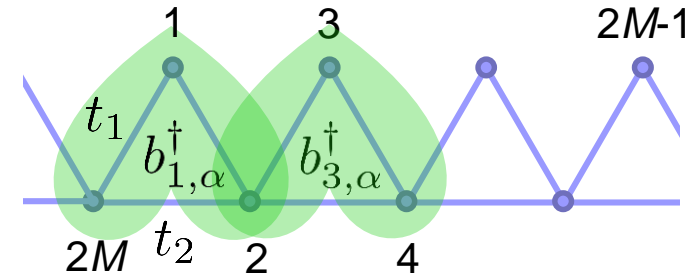
$$b_{x,\alpha} := \nu c_{x-1,\alpha} + c_{x,\alpha} + \nu c_{x+1,\alpha}, \quad x \in \mathcal{O}$$

## ■ Localized eigen-operators of $H_{\text{hop}}$

$$a_{x,\alpha} = -\nu c_{x-1,\alpha} + c_{x,\alpha} - \nu c_{x+1,\alpha}, \quad x \in \mathcal{E}$$

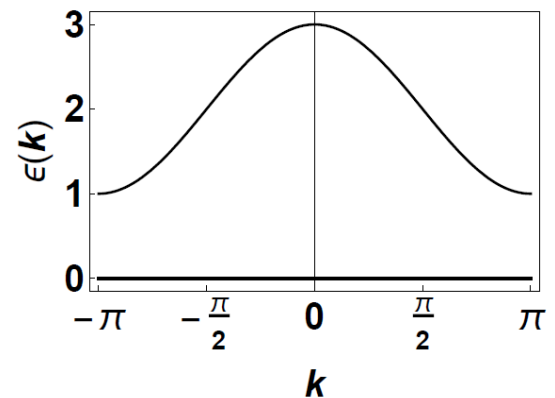
$$[H_{\text{hop}}, a_{x,\alpha}^\dagger] = 0 \quad (\because \{a_{x,\alpha}^\dagger, b_{y,\beta}\} = 0)$$

The flat band is spanned by  $a$ -operators.



$$\begin{aligned} t_1 &= \nu t, \quad t_2 = \nu^2 t, \\ t_{x,x} &= t \text{ if } x \in \mathcal{O}, \quad t_{x,x} = 2\nu^2 t \text{ if } x \in \mathcal{E} \end{aligned}$$

$$t = 1, \quad \nu = 1/\sqrt{2}$$



# Model on 1D Tasaki lattice

## ■ Lattice and hopping term

- Lattice:  $\Lambda = \{1, 2, \dots, 2M\}$
- $\mathcal{O} = \{1, 3, 5, \dots\}, \mathcal{E} = \{2, 4, 6, \dots\}$
- Periodic boundary conditions:  
Identify site  $j$  with  $j+2M$
- Hopping term ( $t > 0$ )

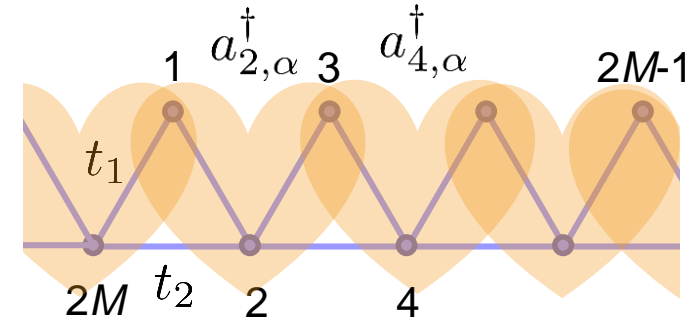
$$H_{\text{hop}} = \sum_{\alpha=1}^N \sum_{x,y \in \Lambda} t_{x,y} c_{x,\alpha}^\dagger c_{y,\alpha} = t \sum_{\alpha=1}^N \sum_{x \in \mathcal{O}} b_{x,\alpha}^\dagger b_{x,\alpha}$$

$$b_{x,\alpha} := \nu c_{x-1,\alpha} + c_{x,\alpha} + \nu c_{x+1,\alpha}, \quad x \in \mathcal{O}$$

## ■ Localized eigen-operators of $H_{\text{hop}}$

$$a_{x,\alpha} = -\nu c_{x-1,\alpha} + c_{x,\alpha} - \nu c_{x+1,\alpha}, \quad x \in \mathcal{E}$$

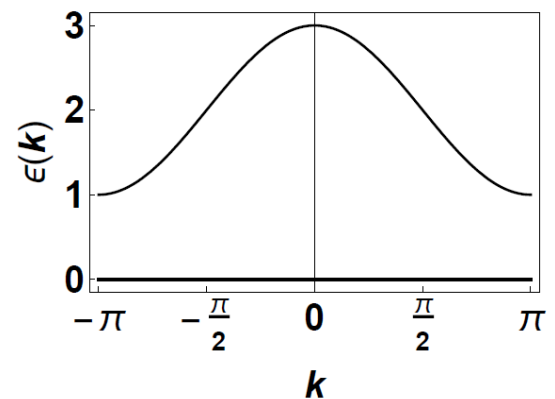
$$[H_{\text{hop}}, a_{x,\alpha}^\dagger] = 0 \quad (\because \{a_{x,\alpha}^\dagger, b_{y,\beta}\} = 0)$$



$$t_1 = \nu t, \quad t_2 = \nu^2 t,$$

$$t_{x,x} = t \text{ if } x \in \mathcal{O}, \quad t_{x,x} = 2\nu^2 t \text{ if } x \in \mathcal{E}$$

$$t = 1, \quad \nu = 1/\sqrt{2}$$



The flat band is spanned by  $a$ -operators.

# Flat-band ferromagnetism

## ■ SU( $N$ ) Ferromagnetic (FM) states

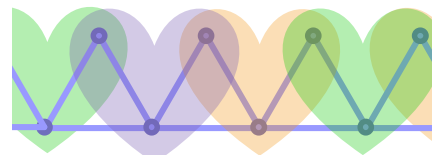
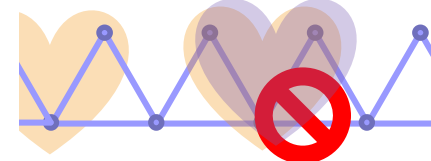
- Fix total fermion num.:  $F_{\text{tot}} = M$     The num. of unit cells
- Fully polarized states     $|\Phi_{\text{all},\alpha}\rangle := \left( \prod_{x \in \mathcal{E}} a_{x,\alpha}^\dagger \right) |\text{vac}\rangle, \quad \alpha = 1, \dots, N$   
are ground states (g.s.) of  $H = H_{\text{hop}} + H_{\text{int}}$   
as they simultaneously minimize  $H_{\text{hop}}$  and  $H_{\text{int}}$

Frustration-free!

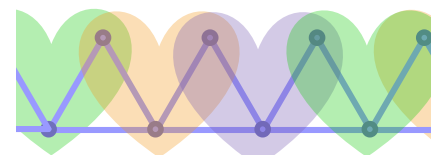
- Other FM g.s.:  $(F^{N,1})^{F_N} \dots (F^{2,1})^{F_2} |\Phi_{\text{all},1}\rangle$
- Total num. of FM states:  $d_{\text{deg}} = \frac{(M+N-1)!}{M!(N-1)!}$

## ■ Uniqueness of FM g.s.

- Appearance of  $b$  and multiple occupancy of  $a$  are prohibited



+



+

...  
Must be symmetric  
under permutations  
of colors

# Model with nearly flat band

## ■ Lattice and hopping term

- Hopping term ( $t > 0, s > 0$ )

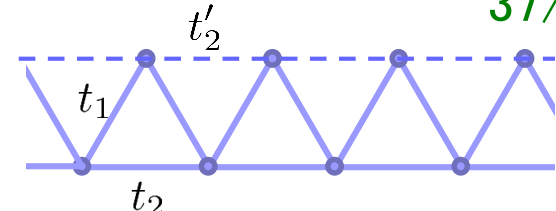
$$H_{\text{hop}} = -s \sum_{\alpha=1}^N \sum_{x \in \mathcal{E}} a_{x,\alpha}^\dagger a_{x,\alpha}$$

$$+ t \sum_{\alpha=1}^N \sum_{x \in \mathcal{O}} b_{x,\alpha}^\dagger b_{x,\alpha}$$

- Total Hamiltonian  $H = H_{\text{hop}} + H_{\text{int}}$

## ■ Theorem Tamura & Katsura, PRB **100** (2019)

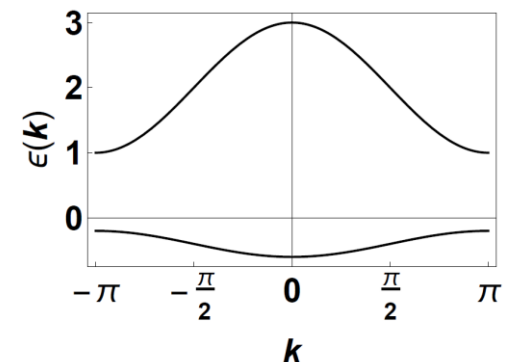
Consider the Hubbard Hamiltonian  $H$  with the total fermion number  $F_{\text{tot}} = M$ . For sufficiently large  $t/s > 0$  and  $U/s > 0$ , the ground states of  $H$  are  $SU(N)$  **ferromagnetic and unique** apart from trivial degeneracy due to the  $SU(N)$  symmetry.



$$t_1 = \nu(t + s), \quad t_2 = \nu^2 t, \quad t'_2 = -\nu^2 s$$

$$t_{x,x} = t - 2\nu^2 s \text{ if } x \in \mathcal{O}$$

$$t_{x,x} = -s + 2\nu^2 t \text{ if } x \in \mathcal{E}$$



- $SU(N)$  generalization of Tasaki, PRL **75**, 4678 (1995)
- Higher-dim. generalization: Tamura & Kasura, JSP **182**, 16 (2021)

# Outline

1. Introduction
2. 強磁性についての厳密な結果
3. 引力Hubbard模型についての厳密な結果
  - マヨラナ鏡映とは？
  - 主要な結果
4. Summary

# Rigorous results for attractive Hubbard

	SU(2), $U < 0$	SU( $N$ ), $N > 2$ , $U < 0$
Method	Spin reflection positivity $c_{x,\uparrow} \leftrightarrow c_{x,\downarrow}$	Majorana reflection positivity $\gamma_{x,\alpha}^{(1)} \leftrightarrow \gamma_{x,\alpha}^{(2)}$
Ground-state degeneracy	Unique for $N_e = \text{even}$ Lieb, PRL <b>62</b> (1989)	At most doubly degenerate in the whole Fock space
Rep. of g.s.	G.S. is SU(2) singlet Lieb, PRL <b>62</b> (1989)	G.S. is SU( $N$ ) singlet
Correlation function	$\langle \Phi_{\text{GS}}   c_{x,\uparrow}^\dagger c_{x,\downarrow}^\dagger c_{y,\downarrow} c_{y,\uparrow}   \Phi_{\text{GS}} \rangle > 0$ G-S. Tian, PRB <b>45</b> (1992)	$\langle \Phi_{\text{GS}}   S_{x,y}   \Phi_{\text{GS}} \rangle > 0$
Long-range order (LRO) for $ A  -  B  = O( \Lambda )$	Off-diagonal LRO Shen & Qiu, PRL <b>71</b> (1993) Charge-density wave G-S. Tian, PLA <b>192</b> (1994)	Charge-density wave Yoshida & Katsura, PRL <b>126</b> , 100201 (2021)

# Model

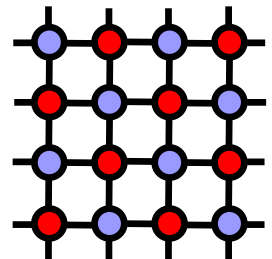
## ■ Hamiltonian

$$H = \sum_{\alpha=1}^N \sum_{x,y \in \Lambda} t_{x,y} (c_{x,\alpha}^\dagger c_{y,\alpha} + c_{y,\alpha}^\dagger c_{x,\alpha}) + \sum_{x \in \Lambda} U_x \left( n_x - \frac{N}{2} \right)^2$$

$$n_x = \sum_{\alpha=1}^N n_{x,\alpha}$$

Assumptions:

1.  $N \geq 3$
2. Lattice is bipartite ( $\Lambda = A \cup B$ ) and connected.  
Examples: square, cubic, Lieb, ...
3. Hopping matrix  $T = (t_{x,y})_{x,y \in \Lambda}$  is real symmetric  
 $t_{x,y} = 0$  if  $x$  and  $y$  are on the same sublattice
4.  $U_x < 0$  for all  $x \in \Lambda$



## ■ $SU(N)$ symmetry (reminder) and singlet

- Hamiltonian commutes with  $F^{\alpha,\beta} := \sum_{x \in \Lambda} c_{x,\alpha}^\dagger c_{x,\beta}$
- $SU(N)$  singlet: a state invariant under  $SU(N)$  rotation

$$F^{\alpha,\beta} |\Phi_{\text{sing}}\rangle = 0 \quad \forall \alpha \neq \beta, \quad F^{1,1} |\Phi_{\text{sing}}\rangle = \dots = F^{N,N} |\Phi_{\text{sing}}\rangle$$

# What is Majorana reflection?

## ■ Majorana fermions

$$\gamma_{x,\alpha}^{(1)} := c_{x,\alpha} + c_{x,\alpha}^\dagger, \quad \gamma_{x,\alpha}^{(2)} := -i(c_{x,\alpha} - c_{x,\alpha}^\dagger) \quad \text{for } x \in A$$

$$\gamma_{x,\alpha}^{(1)} := -i(c_{x,\alpha} - c_{x,\alpha}^\dagger), \quad \gamma_{x,\alpha}^{(2)} := c_{x,\alpha} + c_{x,\alpha}^\dagger \quad \text{for } x \in B$$

- They obey  $(\gamma_{x,\alpha}^{(j)})^\dagger = \gamma_{x,\alpha}^{(j)}$  and  $\{\gamma_{x,\alpha}^{(j)}, \gamma_{y,\beta}^{(k)}\} = 2\delta_{j,k}\delta_{x,y}\delta_{\alpha,\beta}$

## ■ Hamiltonian in terms of Majoranas

$$H_{\text{hop}} = \sum_{\alpha=1}^N \sum_{x \in A, y \in B} t_{x,y} \left( \frac{i}{2} \gamma_{x,\alpha}^{(1)} \gamma_{y,\alpha}^{(1)} - \frac{i}{2} \gamma_{x,\alpha}^{(2)} \gamma_{y,\alpha}^{(2)} \right)$$

They are invariant under  $\theta$

$$H_{\text{int}} = \sum_{\alpha,\beta} \sum_{x \in \Lambda} U_x \left( \frac{i}{2} \gamma_{x,\alpha}^{(1)} \gamma_{x,\beta}^{(1)} \right) \left( -\frac{i}{2} \gamma_{x,\alpha}^{(2)} \gamma_{x,\beta}^{(2)} \right)$$

## ■ Majorana reflection

- Anti-linear map:

$$\theta(\gamma_{x,\alpha}^{(1)}) = \gamma_{x,\alpha}^{(2)}, \quad \theta(\gamma_{x,\alpha}^{(2)}) = \gamma_{x,\alpha}^{(1)}, \quad \theta(i) = -i$$

QMC literature: Wei *et al.*, PRL 116 (2016)

# Main results

## ■ Theorem 1 (singlet g.s.)

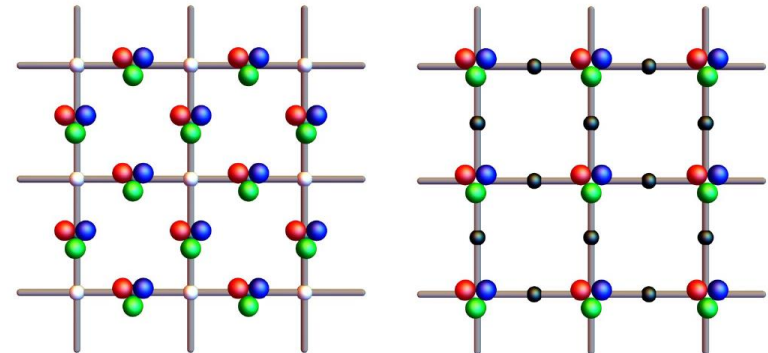
- $|A| \neq |B| \rightarrow$  Exactly two ground states. They are  $SU(N)$  singlet.  
Their fermion num. are  $N|A|$  and  $N|B|$ , respectively.
- $|A| = |B| \rightarrow$  At most two ground states, each of which is  $SU(N)$  singlet with  $F_{\text{tot}} = N|A| (= N|B|)$ .

## ■ Theorem 2 (correlation function)

- Consider the operator  $S_{x,y} = (-1)^x(-1)^y \left( n_x - \frac{N}{2} \right) \left( n_y - \frac{N}{2} \right)$ ,  
where  $(-1)^x = 1$  for  $x \in A$  and  $(-1)^x = -1$  for  $x \in B$ .
- For any g.s.  $|\Phi_{\text{GS}}\rangle$  and for any  $x, y \in \Lambda$ ,  $\langle \Phi_{\text{GS}} | S_{x,y} | \Phi_{\text{GS}} \rangle > 0$ .

## ■ Perturbative picture

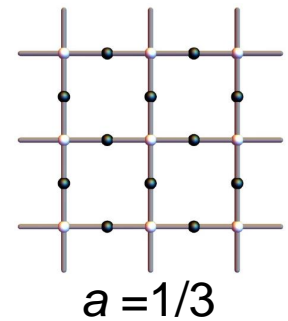
- Model with  $|U| \gg |t_{x,y}|$  exhibits checkerboard patterns in g.s.
- Ex.)  $SU(3)$  model on Lieb lattice



## Main results (cont'd)

### ■ Theorem 3 (charge density wave)

- $|A| - |B| = a|\Lambda| \quad (-1 < a < 1)$
- Define order parameter  $S = \sum_{x \in \Lambda} (-1)^x \left( n_x - \frac{N}{2} \right)$
- Then for any g.s.  $|\Phi_{\text{GS}}\rangle$ ,  
we have  $\langle \Phi_{\text{GS}} | S^2 | \Phi_{\text{GS}} \rangle > \left( \frac{aN|\Lambda|}{2} \right)^2$



## What is Majorana reflection positivity?

- Eigen-operator of  $H$ :  $HO = OH = EO$
- Expansion of  $O$ :  $O(W) = \sum_{\alpha, \beta \in \mathcal{C}_{\text{even}}} W_{\alpha, \beta} \Gamma_{\alpha}^{(1)} \Gamma_{\beta}^{(2)}$   
 $\Gamma_{\alpha}^{(1)} = i^{\lfloor \ell(\alpha) \rfloor} \gamma_{x_1, \alpha_1}^{(1)} \gamma_{x_1, \alpha_2}^{(1)} \dots,$   
 $\Gamma_{\alpha}^{(2)} = (-i)^{\lfloor \ell(\alpha) \rfloor} \gamma_{x_1, \alpha_1}^{(2)} \gamma_{x_1, \alpha_2}^{(2)} \dots$
- Define  $|W| := \sqrt{W^\dagger W}$
- Can show  $E(|W|) \leq E(W)$ .

## 概要：

本講演では、強磁性・スピン鏡映正値性・ $\eta$ ペアリング対称性などのSU(2)ハバード模型における既知の厳密な結果について概観した後に、それらの結果のSU( $N$ )ハバード模型における拡張を紹介する。また時間が許せば、散逸のあるハバード模型や量子多体傷跡状態など、…

## $\eta$ -pairing states

### ■ Exact eigenstates of SU(2) Hubbard model

- Hamiltonian  $H = \sum_{\sigma=\uparrow,\downarrow} \sum_{x,y \in \Lambda} t_{x,y} c_{x,\sigma}^\dagger c_{y,\sigma} + U \sum_{x \in \Lambda} n_{x,\uparrow} n_{x,\downarrow}$
- Assume bipartite  $\Lambda$
- $\eta$  operator  $\eta^\dagger := \sum_{x \in \Lambda} (-1)^x c_{x,\uparrow}^\dagger c_{x,\downarrow}^\dagger$  C.N. Yang, *PRL* **63**, 2144 (1989)
- $|\psi_k\rangle = (\eta^\dagger)^k |\text{vac}\rangle$  is an eigenstate of  $H$  with eigenvalue  $Uk$
- $|\psi_k\rangle$  ( $k = 1, 2, \dots$ ) are not ground states
- They exhibit off-diagonal long-range order (ODLRO)

### ■ SU( $N$ ) extensions

- $\eta$ -pairing states in SU( $N$ ) Hubbard model  
Nakagawa, Katsura & Ueda, arXiv:2205.07235
- $\eta$ -clustering states in 1d extended SU( $N$ ) Hubbard model  
Yoshida & Katsura, *PRB* **105**, 024520 (2022)

## Summary

- 長岡強磁性のSU( $N$ )への拡張
- 平坦バンド強磁性のSU( $N$ )への拡張
- ほとんど平坦なバンドの場合についても拡張
- 引力SU( $N$ ) Hubbard模型の基底状態の諸性質
- $\eta$ ペアリング状態のSU( $N$ )への拡張